

مطالعه کانه‌زایی تیتانیم در مجموعه افیولیتی کهنه‌ج و استفاده از داده‌های سنگ‌شناسی، کانی‌شناسی و ژئوشیمیایی، جنوب استان کرمان

محمدعلی رجب‌زاده^{۱*}، منصور قربانی^۲ و منیر سعادتی^۱

^۱بخش علوم زمین، دانشکده علوم، دانشگاه شیراز، شیراز، ایران

^۲گروه زمین‌شناسی، دانشکده علوم، دانشگاه هرمزگان، بندرعباس، ایران

چکیده

مجموعه افیولیتی کهنه‌ج در جنوب استان کرمان به صورت یک فرا‌زمین بین دو گسل شمالی-جنوبی جیرفت و سبزواران بر روی زمین جایگیری شده است. این افیولیت یک مجموعه کامل نبوده، عمدتاً شامل گابروهای لایه‌ای، گابروهای ایزوتروپ، دایک‌های ورقه‌ای، پلازیوگرانیت‌ها و گدازه‌های بالشی همراه با رادیولاریت‌ها و سنگ‌های آهکی پلازیک است. ایمنیت کانی اصلی تیتانیم است که به صورت بین‌بلوری پس از تبلور وسیع پلازیوکلаз، الیوین و کلینوپیروکسن و اغلب همراه با آمفیبول ایجاد شده است. تشکیل توده‌های عظیم گابرویی که با تبلور وسیع پلازیوکلاز و کلینوپیروکسن همراه است موجب ایجاد سیال غنی از آهن و تیتانیم در زمان تشکیل سنگ فروگابرو، میزان اصلی ذخایر ایمنیت می‌شود. کاهش عناصر سازگار با فرآیند تبلور نظیر Mg و Cr و افزایش پیوسته عناصر ناسازگاری مانند Mn، Na و Ti از بخش‌های زیرین به سمت مناطق فوقانی مجموعه افیولیتی نشان‌دهنده تشکیل مجموعه افیولیتی از طریق فرآیند تفریق بلورین از یک مagma تولیتی غنی از تیتانیم است.

واژه‌های کلیدی: کانه‌زایی، تیتانیم، افیولیت، کهنه‌ج، ژئوشیمی

آن به شکل تکتونیکی در سطح زمین رورانده می‌شود و

در این صورت به آن افیولیت اطلاق می‌شود (Knipper *et al.*, 1986; Nicolas, 1989; Boulin, 1991) مجموعه بازیک کهنه‌ج شامل گابروهای لایه‌ای، گابروهای ایزوتروپ، دایک‌های ورقه‌ای، پلازیوگرانیت و

مقدمه

پوسته اقیانوسی از بخش‌های بازالتی، دایک‌های دیابازی، گابرویی، پریدوتیتی به همراه سنگ‌های آهکی پلازیک و رادیولاریتی تشکیل شده است که در فرآیند فرارانش بر روی پوسته قاره‌ای همه و یا بخش‌هایی از

تشکیل می‌دهد. ذخایر تیتانیم کهنج در جنوب استان کرمان در دو بخش آبرفتی رودخانه کهنج (۱۸۰ میلیون تن) و در بخش مجموعه عظیم گابرویی (۳۰۰ میلیون تن) قرار می‌گیرند. علی‌رغم پایین بودن عیار در نهشته‌های آبرفتی با عیار متوسط $3/5$ درصد TiO_2 , هم‌اکنون از آنها بهره برداری صورت می‌گیرد. از ذخایر آبرفتی پس از خردایش در آسیاب‌های گلوله‌ای به روش‌های معمول مغناطیسی و الکتریکی کنسانتره ۴۰ درصد به‌دست می‌آید که برای تهییه TiO_2 مصنوعی کاوشگران (۱۳۶۹) با اعتقاد به چندزاد بودن مجموعه کهنج، آن را شامل سه سری ماقمایی مجزا، با سن‌هایی از پرکامبرین فوکانی-پالئوسن می‌دانند. سیزه‌بی (۱۳۷۰) معتقد است که مجموعه‌های افیولیتی جنوب شرقی ایران بدون انفصال پترولوزیک موهو بوده، واحدهای سنگی اولترامافیک و مافیک هم‌زمان به وجود آمده و سپس دگرگون شده‌اند. وی بخش اولترامافیک افیولیت کهنج را زیر کوهستان بند زیارت در نظر می‌گیرد و توده‌های اولترامافیک کوه سرخ در غرب این مجموعه و نیز توده‌های منطقه فاریاب را نشان‌دهنده وجود آن در زیر توده‌های گابرویی کهنج می‌داند. داده‌های سن سنجی ایزوتوبی Hassanipak و همکاران (۱۹۹۶) و Kananian و همکاران (۲۰۰۱) نشان‌دهنده تشکیل مجموعه افیولیتی در کرتاسه (نئوکومین) هستند.

زمین‌شناسی منطقه مورد مطالعه

قسمت اعظم مجموعه سنگ شناختی افیولیت کهنج از گابروها، دایک‌های دیابازی و سنگ‌های پلاژیوگرانیتی تشکیل شده است. این مجموعه در بین طول‌های جغرافیایی $37^{\circ} 57'$ و $50^{\circ} 55'$ شرقی و عرض‌های جغرافیایی $27^{\circ} 35'$ و $27^{\circ} 55'$ شمالی با مساحت تقریبی 500 کیلومتر مربع در جنوب استان

گدازه بالشی همراه با رادیولاریت و سنگ آهک پلاژیک می‌شود و علی‌رغم عدم حضور گسترده سنگ‌های پریدوتیتی، ماهیت افیولیتی آن پذیرفته شده است. نظرات متفاوتی درباره تشکیل و سن اجزای سازنده مجموعه افیولیتی کهنج به‌وسیله پژوهشگران ارائه شده است. برخی از پژوهشگران با اعتقاد به همزاد بودن بخش‌های مختلف این مجموعه، زمان تشکیل آن را کرتاسه تا پالئوسن تعیین کرده‌اند (Paragon Consulting Engineers, 1985) کاوشگران (۱۳۶۹) با اعتقاد به چندزاد بودن مجموعه کهنج، آن را شامل سه سری ماقمایی مجزا، با سن‌هایی از پرکامبرین فوکانی-پالئوسن می‌دانند. سیزه‌بی (۱۳۷۰) معتقد است که مجموعه‌های افیولیتی جنوب شرقی ایران بدون انفصال پترولوزیک موهو بوده، واحدهای سنگی اولترامافیک و مافیک هم‌زمان به وجود آمده و سپس دگرگون شده‌اند. داده‌های سن سنجی ایزوتوبی Hassanipak و همکاران (۱۹۹۶) و Kananian و همکاران (۲۰۰۱) نشان‌دهنده تشکیل مجموعه افیولیتی در کرتاسه (نئوکومین) هستند. توده‌های عظیم گابرویی کهنج حاوی ذخایر با ارزش تیتانیم بوده، به‌طوری‌که در محدوده‌ای به مساحت تقریبی 5 کیلومتر مربع در غرب آن، ذخیره‌ای با بیش از 300 میلیون تن و عیار متوسط $5/6$ درصد TiO_2 بزرگ‌ترین منابع شناخته شده تیتانیم ایران را

به‌وسیله روش‌های معمول میکروسکوپ نوری انکساری و انعکاسی در بخش علوم زمین دانشگاه شیراز مطالعه شدند.

تجزیه شیمیایی به روش الکترون مایکروپروب برای تجزیه نقطه‌ای عنصری کانی‌های تشکیل‌دهنده سنگ (بر روی ۱۲ نمونه) و روش فلورسنس اشعه ایکس (XRF) برای تعیین ترکیب شیمیایی عناصر اصلی و فرعی نمونه‌های سنگ (۲۰ نمونه) و تجزیه کانی‌شناسی با استفاده از روش پراش اشعه ایکس (۳۷ نمونه) در بخش ژئوشیمی دانشگاه Göttingen (آلمان) انجام شد. در روش الکترون مایکروپروب از دستگاه مایکروپروب مدل JEOL JXA 8900 RL با شرایط دستگاهی: قطر اشعه الکترونی ۱ میکرون، ولتاژ شتاب‌دهنده 16 kV ، شدت جریان 15 nA و زمان شمارش در زمینه ۴ ثانیه و در پیک ۸ ثانیه استفاده شده است، از مواد خالص طبیعی و مواد مصنوعی استاندارد برای کالیبراسیون دستگاه استفاده شده است و داده‌های خام به روش PAP (Pouchou and Pichoir 1984, 1991) پردازش شده‌اند. در تجزیه کلی سنگ به روش XRF لیتیم بورات، تترابورات و شیشه‌ی ذوب شده LiF در دستگاه PW X40 فیلیپس مدل Pw1480 مجهز به نرم افزار ۱۰۰ به کار گرفته شده است. کالیبراسیون دستگاه با ماده طبیعی و مصنوعی متداول به عنوان استانداردهای ژئوشیمیایی صورت گرفته است.

در تجزیه عناصر از اشعه رادیم ۳ کلیو ولت برای تحریک عناصر استفاده شده است. تجزیه نمونه‌ها به روش XRD نیز در دستگاه فیلیپس ۱۸۰۰ مجهز به نرم افزار APP۱۷۰۰ انجام شده است. داده در شرایط آزمایش: اختلاف ولتاژ ۴۵ کیلو ولت، شدت جریان ۴۵

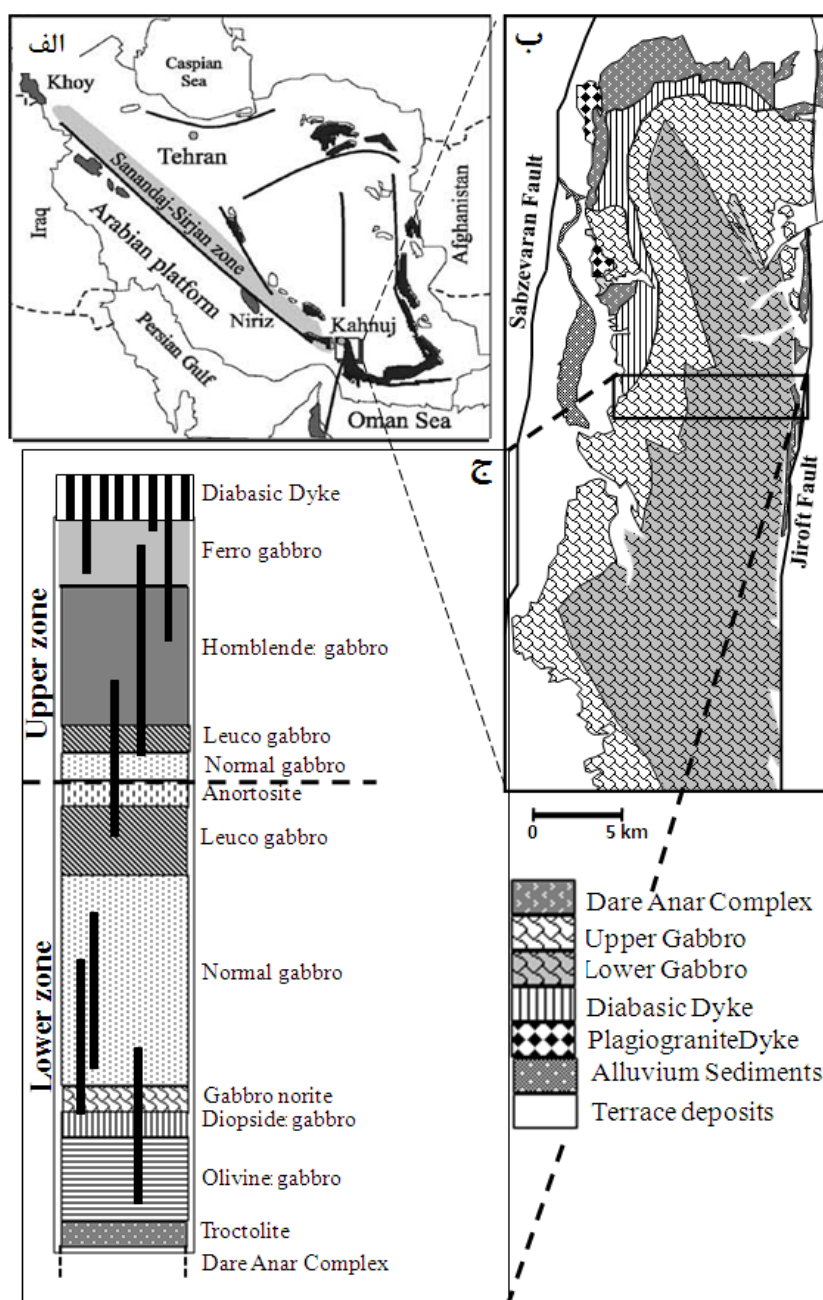
کرمان واقع شده و در شرق جاده اصلی رودان-کهنه‌وج قابل دسترسی است. این منطقه به صورت بخشی از یک گستره پهناور در محل برخورد سه زون ساختاری زمین‌شناسی ایران قرار می‌گیرد، به‌طوری‌که از شمال به بلوک لوت، از غرب و شمال غرب به زون سنتدج-سیرجان، از شرق به حوزه جازموریان و از جنوب به زون مکران محدود می‌شود. این مجموعه سنگ‌شناختی در اثر عملکرد دو گسل بزرگ جیرفت در شرق و سبزواران در غرب به صورت یک فرازهایی بر روی سطح جایگیری شده است. امتداد عمومی مجموعه افیولیتی کهنه‌وج و گسل‌های جیرفت و سبزواران در منطقه مورد مطالعه شمالی-جنوبی است و واحدهای آتشفسانی-رسوبی کرتاسه فوقانی گنج، دره انار، چاه میرک و بیدک در حاشیه توده افیولیتی قرار دارند. بر اساس داده‌های عناصر نادر خاکی (REE)، منشأ بازالت مجموعه افیولیتی E-MORB در نظر گرفته می‌شود (Ghazi *et al.*, 2004) بر اساس مطالعات Hassanipak و همکاران (۱۹۹۶) و McCall (۱۹۹۷)، واحدهای گابرویی افیولیت کهنه‌وج به دو بخش گابروهای فوقانی و گابروهای زیرین قابل تقسیم هستند. گابروهای فوقانی در بخش غربی مجموعه افیولیتی واقع شده‌اند و گابروهای زیرین قسمت‌های شرقی و مرتفع افیولیت را تشکیل می‌دهند (شکل ۱).

روش انجام پژوهش

در پیمایش‌های صحرایی، تعداد ۶۲ نمونه از سنگ‌های مجموعه افیولیتی کهنه‌وج بر اساس تغییرات سنگ‌شناسی در امتداد بخش‌های زیرین به سمت قسمت‌های فوقانی برداشت شدند. از تعداد ۴۲ نمونه شاخص، مقاطع نازک و نازک صیقلی تهیه و سپس

شده است. ۱۵ نمونه نیز به روش‌های معمول شیمی تر برای اندازه‌گیری عناصر اصلی و با استفاده از دستگاه جذب اتمی در بخش علوم زمین دانشگاه شیراز تجزیه شیمیایی شدند.

میلی آمپر، تشعشع $K\alpha$ -Cu، اندازه گیری زاویه θ بین ۴ تا ۷۰ درجه با چرخش ۱ درجه در دقیقه به دست آمده‌اند. سپس به طور نرم‌افزاری و اتوماتیک از فرمول‌های کانی‌شناسی برای تعیین نوع کانی‌ها استفاده

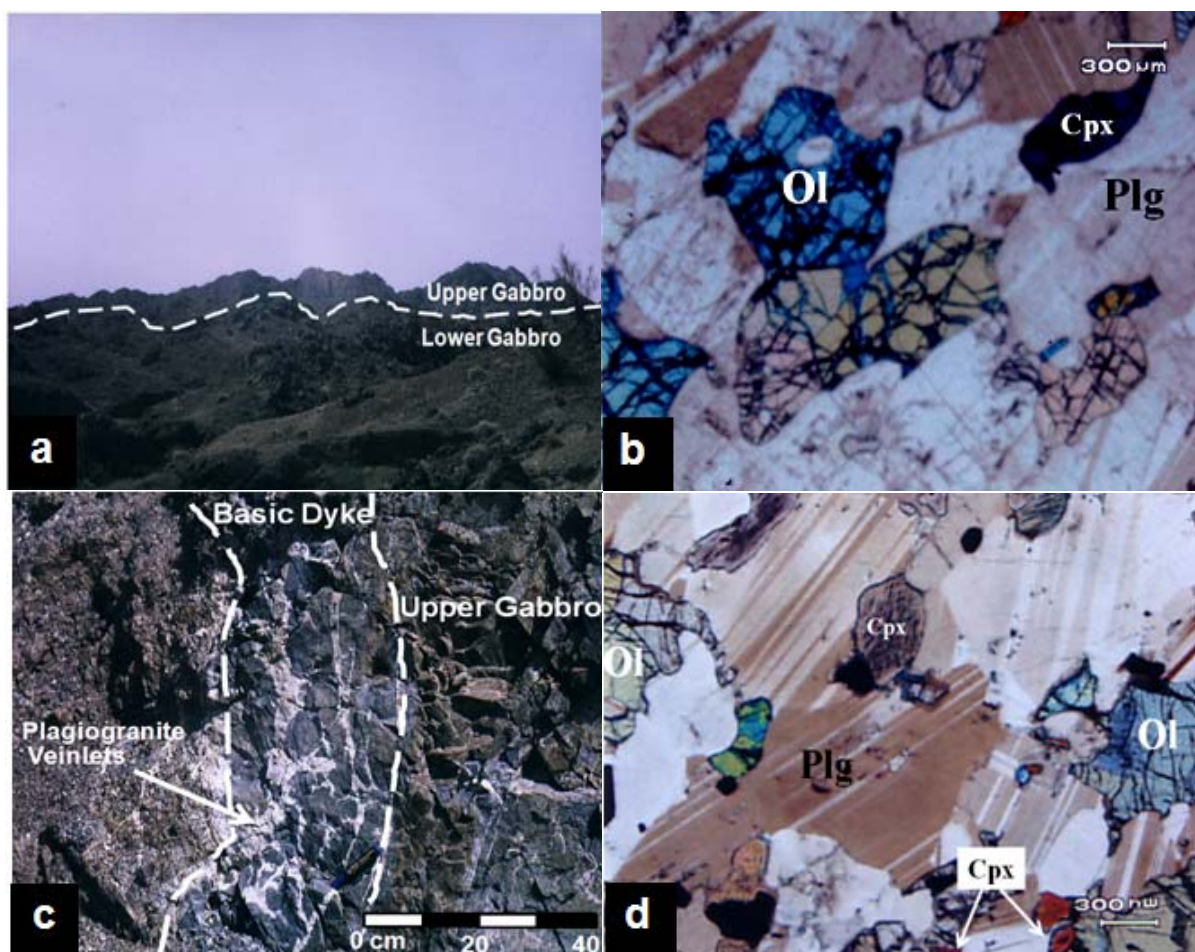


شکل ۱- (الف) نقشه زمین‌شناسی توده‌های افیولیتی ایران، (ب) نقشه زمین‌شناسی مجموعه افیولیتی کهنه‌ج (برگرفته از نقشه زمین‌شناسی ۱:۲۵۰۰۰۰ میناب، انتشارات سازمان زمین‌شناسی)، (ج) ستون سنگ‌شناسی مجموعه افیولیتی کهنه‌ج

معمولی، لویکوگابرو و مقادیر کمی آنورتوزیت تشکیل شده‌اند که بیش از ۴۰ درصد کل مجموعه افیولیتی کهنه‌وج را تشکیل می‌دهند (شکل ۲-a). در این بخش تروکتولیت لایه‌ای در قسمت زیرین رخنمون دارد و به تدریج به سمت قسمت‌های فوقانی به الیوین گابرو، دیوپسید گابرو، گابرو نوریت، گابرو معمولی و سپس به لویکوگابرو تبدیل می‌شود. گابروهای کومولاوی این بخش نسبت به گابروهای فوقانی کمتر دگرسان شده‌اند و بافت آنها از ادکومولا تا اورتوکومولا متغیر است (شکل ۲-b).

سنگ‌شناسی

گابروهای زیرین با بافت دانه‌ریز تا دانه‌درشت در ستون افیولیتی در زیر گابروهای فوقانی قرار می‌گیرند. انواع دانه درشت تا پگماتیتی عموماً در رخساره شیست سبز دگرسان شده به طوری که اورالیت از دگرسانی کلینوپیروکسن ایجاد شده است و پلاژیوکلаз‌ها سوسوریتی شده‌اند. در فرآیند دگرسانی همچنین، اپیدوت و کلریت از دگرسانی کانی‌های مافیکی نظیر آمفیبول به وجود آمده‌اند. این گابروها از تروکتولیت لایه‌ای، الیوین گابرو، دیوپسید گابرو، گابرو نوریت، گابرو



شکل ۲ - (a) توode‌های گابرویی زیرین با لایه‌بندی ماقمایی، (b) سنگ الیوین گابرو با بافت ادکومولا، (c) گابرو فوقانی ایزوتروپ همراه با نفوذ دایک دیابازی و رگچه‌های پلاژیوگرانیت، (d) سنگ گابرو معمولی (الیوین = Ol، پلاژیوکلاز = Plg، کلینوپیروکسن = Cpx)

کدر نیز فراوان و بیشتر از نوع ایلمنیت و مگنتیت هستند. شواهد پتروگرافی نشان دهنده ترتیب تبلور به صورت پلازیوکلاز + الیوین → کلینوپیروکسن ← آمفیبول + ایلمنیت و مگنتیت در این سنگ‌هاست. همچنین، روند کاهشی در کانی‌های مافیک و افزایشی از کانی‌های اکسیدی به سمت افق‌های فوقانی‌تر ستون افیولیتی دیده می‌شود. کانی‌های ترمولیت، کلریت، اپیدوت و کلسیت حاصل از دگرسانی گرمابی به‌ویژه به‌سمت بخش‌های فوقانی‌تر (شمال و غرب توده افیولیتی) به‌وفور دیده می‌شوند.

سنگ فروگابرو در بالاترین سطح بخش گابرویی فوقانی و غرب افیولیت کهنجق قرار گرفته و با بافت دانه‌ریز تا دانه متوسط مشخص می‌شود. این سنگ میزبان اصلی کانی ایلمنیت بوده به‌طوری‌که در برخی از نمونه‌ها میزان ایلمنیت به بیش از ۲۰ درصد حجم سنگ می‌رسد و می‌توان آن را ایلمنیت گابرو نامید. بلورهای ایلمنیت مانند پیروکسن و پلازیوکلاز دانه درشت بوده، در فاز میان انباشتی قرار می‌گیرند (شکل ۳-a). در این سنگ کانی آمفیبول نیز به‌صورت میان انباشتی و بی‌شکل در فضای بین بلوری رشد کرده است. حضور ایلمنیت همراه با حاشیه واکنشی در کانی پیروکسن (تشکیل آمفیبول پارگازیت ثانویه) نشان‌دهنده دگرسانی دوتربیک سنگ توسط سیال غنی از آب در زمان کانه‌زایی کانی‌های حاوی تیتانیم است (شکل ۳-b).

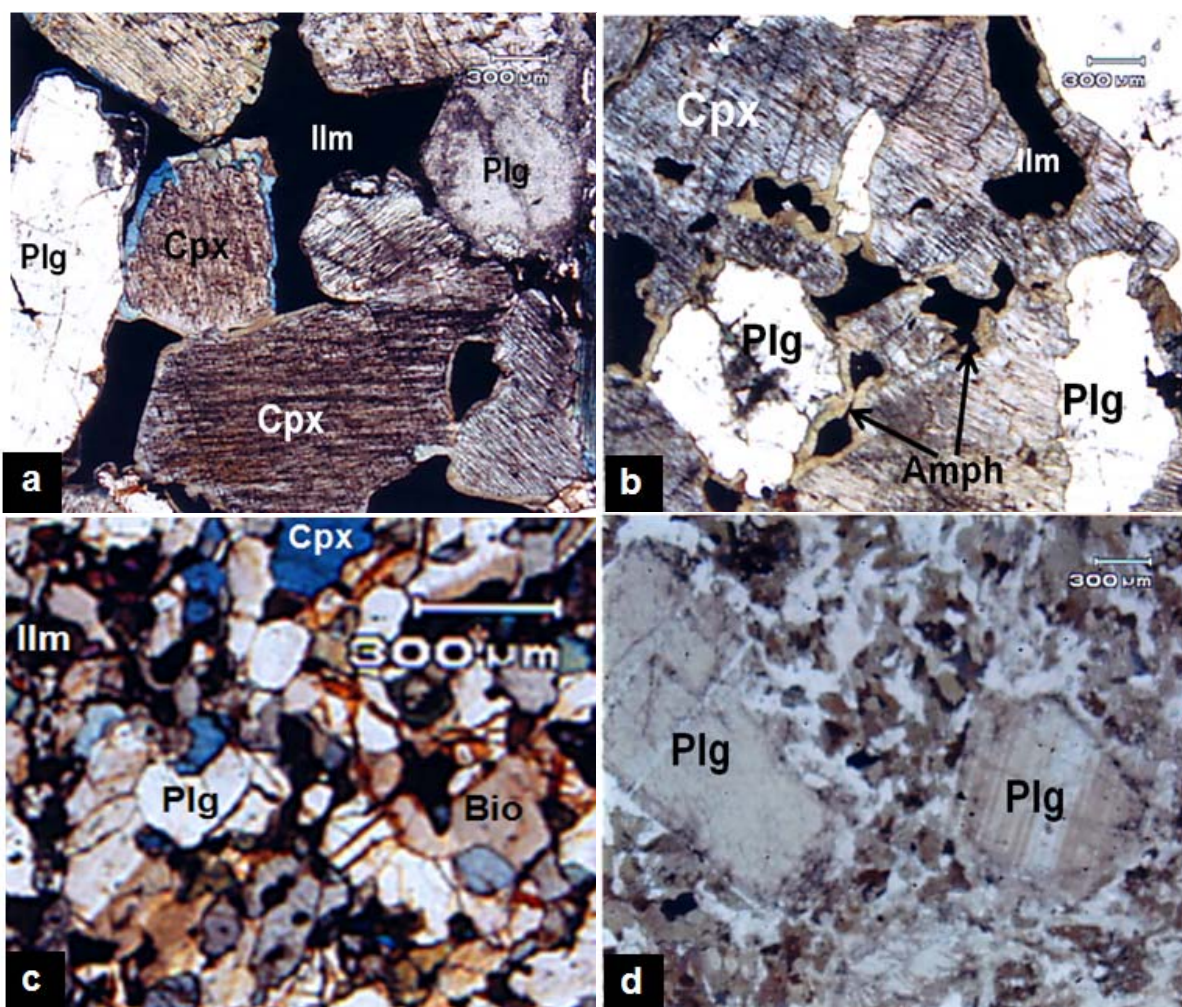
مجموعه‌های دایک دیابازی با روند شمالی-جنوبی در قسمت غرب و شمال مجموعه افیولیتی رخنمون بیشتری داشته و به درون توده‌های گابرویی نفوذ کرده‌اند (شکل‌های ۲-c و ۳-c). این

کانی‌های الیوین و پلازیوکلاز به‌صورت فاز انباشتی اولین بلورهایی هستند که متابلو ری شوند و کانی کلینوپیروکسن به‌صورت میان انباشتی تبلور یافته است. حضور میانبارهای الیوین در پلازیوکلاز و بالعکس میانبارهای پلازیوکلاز در الیوین، نشان دهنده تبلور هم‌زمان این دو کانی است. کانی‌های آمفیبول بیشتر به رنگ سبز تا قهوه‌ای و به دو شکل اولیه (نیمه خود شکل) و ثانویه (بی‌شکل) دیده می‌شوند. عقیده بر این است که سنگ‌های حاوی آمفیبول اولیه در شرایط فشار کم از تبلور تفریقی مانگما نوع پشته میان اقیانوسی به‌وجود می‌آیند. سیال به دام افتاده در مرحله بعد از کومولاپی به‌همراه ورود یک سیال غنی از آب به ستون مانگماپی موجب تشکیل آمفیبول می‌شود (Tribuzio *et al.*, 2000) گابروهای فوقانی در بخش غربی توده افیولیتی رخنمون دارند و بیشتر از گابرو معمولی، لویکوگابرو، هورنبلند گابرو و فروگابرو تشکیل شده‌اند و به‌دلیل عدم وجود ساخت لایه‌ای منظم، واحد گابرویی ایزوتروپ نامیده می‌شوند.

مرز بین گابروهای بخش‌های زیرین و فوقانی نامشخص و تدریجی است. سنگ‌های این بخش به‌دلیل دگرسانی شدید در مقابل هوازدگی آسیب پذیر بوده، هوازدگی آنها موجب تجمع کانی‌های با ارزش ایلمنیت و تیتانومگنتیت در رسوبات آبرفتی رودخانه کهنجق شده است (شکل ۲-c). این گابروها از نظر بافتی بسیار متغیر بوده به‌طوری‌که از انواع بسیار دانه درشت پگماتوییدی در نزدیکی مرز گابروهای زیرین و محل نفوذ دایک‌های دیابازی تا انواع دانه ریز با بافت‌های گرانولار، اینترسراکتیو یا هیپایدیومورفیک دیده می‌شوند. کانی‌های اصلی این سنگ‌ها شامل پلازیوکلاز، کلینوپیروکسن و آمفیبول بوده، الیوین کانی فرعی آنهاست (شکل ۴-۲). کانی‌های

نیز تمایل ژئوشیمی آنها را به بازالت‌های MORB نشان می‌دهند (کعنیان، ۱۳۸۰؛ McCall، ۱۹۷۷). گدازه‌های بالشی به عنوان عضو نهایی سنگ‌های آذرین به صورت بین‌لایه‌ای با رسوبات پلازیک و چرت‌های رادیولاریتی قرار می‌گیرند.

پدیده موجب تغییرات بافتی به صورت ایجاد بلورهای درشت در نتیجه تبلور مجدد و دگرسانی به صورت تشکیل رگه‌های کوارتز+پیدوت شده است. از نظر کانی‌شناسی، این دایک‌ها با گابروهای فوقانی تفاوت زیادی نداشته و داده‌های شیمیایی



شکل ۳-۳) (a) فروگابرو با کانی‌های ایلمنیت و مگنتیت در بخش فوقانی افیولیت کهنه‌وج، (b) حاشیه‌های واکنشی در مرز بین کانی‌های ایلمنیت و کلینوپیروکسن و تشکیل آمفیبول ثانویه، (c) دایک دیابازی دانه‌ریز، (d) پلازیوگرانیت با بافت پورفیری (پلازیوکلاز = Plg، کلینوپیروکسن = Cpx، آمفیبول = Amph، آمفيبول = Bio، ایلمنیت = IIm)

آلکالی‌فلدسپار و هورنبلاند است و مجموعه افیولیتی را به شکل رگه‌های ناپیوسته به‌ویژه در مناطق برشی شده قطع می‌کند (شکل ۲-۳ و شکل ۳-۴). این پدیده

پلازیوگرانیت مهم‌ترین سنگ دگرسان نشده مجموعه افیولیتی کهنه‌وج بوده، بخش کوچکی از آن را تشکیل می‌دهد. این سنگ نفوذی شامل کوارتز، آلبیت،

سو با داده‌های پتروگرافی و از سوی دیگر با داده‌های شیمیایی مطابقت داشته، نشان‌دهنده تفریق ترکیبات مختلف کانی‌شناسی متناسب با تبلور تفریقی ماگما هستند. این نتایج همچنین، نشان‌دهنده حضور وسیع دیوپسید و به مقدار کمتری اوژیت هستند. کانی‌های ارتوبیروکسن در داده‌های XRD ثبت نشده‌اند. در این داده‌ها، کانی آمفیبول حضور همیشگی داشته (به جز در نمونه پلازیوگرانیت^(۳۴)) که با نتایج مطالعات پتروگرافی مطابقت دارد و کانی‌های ثانویه کلریت و ترمولیت نیز فراوان هستند. کانی ایلمنیت در اکثر نمونه‌ها قابل تشخیص بوده، برتری آن بر کانی مگنتیت در داده‌های XRD به خوبی ثبت شده است. حضور فراوان و همیشگی کانی آلبیت نشان‌دهنده فراوانی عنصر سدیم در ماگما هنگام تشکیل واحدهای سنگی مختلف است.

نتایج داده‌های تجزیه کانی‌شناسی به روش الکترون مایکروپرور برو روی مرکز، قسمت میانی و بخش حاشیه‌ای کانی‌های ایلمنیت (جدول ۲) نشان می‌دهند که علی‌رغم عدم حضور زونینگ مشخص در این کانی‌ها، روندی تفریقی در ترکیب شیمیایی کانی ایلمنیت افق‌های مختلف مجموعه افیولیتی دیده می‌شود. ترکیب شیمیایی مرکز بلورهای ایلمنیت در سنگ‌های بخش‌های زیرین دارای نسبت بالایی از $MgO/(MgO+FeO)$ در مقایسه با انواع موجود در واحدهای سنگی فوقانی‌تر است. چنین وضعیتی در مناطق دیگر نیز گزارش شده است (Robinson *et al.*, 2001)

موجب تبلور مجدد و دگرسانی‌های سدیمی، سوسوریتی، اپیدوتی، کلریتی و سریسیتی شدن بدون تغییر در میزان تیتانیم سنگ‌های میزبان شده است.

در گابروها در دگرسانی سدیم، کانی آلكالی‌فلدسپار به آلبیت تبدیل می‌شود. در دگرسانی پس‌رونده نیز پلازیوکلازها به سوسوریت و کانی‌های مافیک آبدار به اپیدوت و کلریت دگرسان و کانی‌های فلدسپار پتابسیم‌دار تحت تأثیر سیال اسیدی به سریسیت مبدل می‌شوند.

در کنار این پلازیوگرانیت‌های مناطق برشی، سنگ‌های مشابهی نیز وجود دارند که همراه با دیوریت بوده، در بخش‌های زیرین دایک‌های ورقه‌ای قرار می‌گیرند. این نوع سنگ‌ها دگرسان شده‌اند و زایش آنها احتمالاً در ارتباط با تبلور سیال غنی از سیلیس است. الگوی به دست آمده از عناصر REE نیز دو گروه متفاوت از پلازیوگرانیت‌ها (گروهی با بی‌هنجری مثبت و گروهی با بی‌هنجری منفی عنصر Eu) را در منطقه مشخص می‌کنند (Ghazi *et al.*, 2004)

واحدهای اولترامافیک در این مجموعه بسیار نادر بوده، اغلب به شکل توده‌های دونیتی سرپانتینی شده به صورت پراکنده و محدود به برخی مناطق گسلی و بدون هرگونه موقعیت مشخص چینه‌شناسی دیده می‌شوند. کانی‌های اکسیدی آنها کمتر از ۵ درصد سنگ را تشکیل داده و عموماً از نوع اسپینل کرومدار هستند.

کانی‌شناسی

نتایج تجزیه نیمه‌کمی سنگ‌شناختی به روش XRD در جدول ۱ دیده می‌شوند. این نتایج از یک

جدول ۱- نتایج تجزیه کانی‌شناسی با روش XRD. کانی فراوان (+++)، کانی موجود (++)، کانی احتمالی (+)، غیر قابل تشخیص (-)، فروگابرو (۱-۴)، هورنبلندگابرو (۵-۸)، لویکوگابرو فوکانی (۹-۱۲)، گابرو معمولی فوکانی (۱۳-۱۷)، گابرو زیرین (۱۸-۲۰)، گابرو معمولی زیرین (۲۱-۲۶)، الیوین گابرو (۲۷-۲۸)، تروکتولیت (۲۹)، دایک دیابازی (۳۰-۳۲) و پلازیوگرانیت (۳۳-۳۷)

Sample No.	Olivine	Ilmenite	Chlorite	Augite	Zeolite	Tremolite	Diopside	Hornblende	Anorthite	Albite	Quartz
۱	-	+	+	+	-	+	+++	++	+	+++	-
۲	-	+	-	-	-	-	-	++	+	+++	-
۳	-	+	-	++	-	+	+++	++	++	+++	-
۴	-	+	-	-	-	+	-	++	+	+++	-
۵	-	+	+	-	-	+	-	++	+	+++	-
۶	-	-	+	+	-	+	++	++	+	+++	-
۷	-	+	+	-	-	+	+++	++	-	+++	-
۸	-	+	+	++	-	+	+++	++	-	+	-
۹	-	-	+	+	-	-	++	++	++	+++	-
۱۰	-	-	+	-	-	-	++	++	++	+++	-
۱۱	-	+	-	+	-	+	++	++	+	+++	-
۱۲	-	-	-	-	+	-	+	++	-	+++	-
۱۳	-	+	+	+	-	+	+++	++	++	+++	-
۱۴	-	+	+	+	-	+	+++	++	+	+++	-
۱۵	-	-	+	+	-	+	++	++	++	+++	-
۱۶	-	+	-	+	-	+	+++	++	+	+++	-
۱۷	-	-	+	+	-	+	+++	++	++	+++	-
۱۸	-	+	-	+	-	+	++	++	++	+++	-
۱۹	-	-	+	-	-	+	+	++	-	+++	-
۲۰	-	-	-	+	-	-	++	++	+	+++	-
۲۱	-	+	-	+	-	+	+++	++	++	+++	-
۲۲	-	+	+	+	-	+	+++	++	++	+++	-
۲۳	-	-	+	+	-	+	++	++	+	+++	-
۲۴	-	+	-	+	-	+	++	++	++	+++	-
۲۵	-	-	-	+	-	+	+++	++	++	+++	-
۲۶	-	-	-	+	-	+	+++	++	+	+++	-
۲۷	+	-	-	-	-	+	++	++	-	+++	+
۲۸	+	-	-	-	-	-	+	+	+++	+++	-
۲۹	+	-	-	+	-	-	-	++	-	+++	-
۳۰	+	+	-	-	-	+	-	+++	-	+++	++
۳۱	-	-	-	-	-	+	+	++	-	+++	-
۳۲	-	-	-	-	-	+	-	++	+	+++	-
۳۳	-	-	-	-	-	-	-	++	+	+++	-
۳۴	-	-	-	-	-	-	-	-	+	++	+++
۳۵	-	-	-	-	-	+	+	++	+	+++	-
۳۶	-	-	-	+	-	-	-	++	+	+++	+
۳۷	-	-	-	-	-	+	-	++	++	+++	-

کاهش می‌یابد (جدول ۲). تیتانیم در سطوح فوکانی با افزایش فوگاسیته اکسیژن در فرآیند توزیع بین کانی‌ها، به شبکه ایلمنیت وارد می‌شود. این داده‌ها نشان‌دهنده رابطه مستقیمی بین میزان TiO_2 و Al_2O_3 هستند.

داده‌های حاصل از تجزیه مرکز کانی‌های مگنتیت نیز به خوبی نشان می‌دهند که در گذر از مگنتیت‌های سطوح پایین به مگنتیت‌های موجود در سنگ‌های سطوح فوکانی تر مجموعه افیولیتی میزان TiO_2 و MgO

جدول ۲- نتایج داده‌های تجزیه کانی‌شناسی به روش الکترون مایکروپروروب کانی‌های ایلمنیت و مگنتیت در سنگ‌های تشکیل‌دهنده مجموعه افیولیتی کهنج. فروگابرو (۱)، هورنبلندگابرو (۲)، لویکوگابرو فوکانی (۳)، گابرو معمولی فوکانی (۴)، لویکوگابر زیرین (۵)، گابرو معمولی زیرین (۶)، مرکز کانی (C)، حاشیه کانی (B) و بخش میانی کانی (M) (با توجه به محدودیت صفحات مقاله، داده‌های مشابه حذف شده‌اند)

Sample No.	SiO ₂	TiO ₂	Al ₂ O ₃	FeO	MgO	MnO	CaO	Na ₂ O	FeO/(FeO+Mg)
-C1	۰/۰۴	۴۹/۷۳	۰/۰۱	۴۸/۱۵	۰/۱۰	۰/۹۲	۰/۰۳	۰/۰۱	۰/۹۹۸
-B1	۰/۰۱	۴۸/۸۷	۰/۰۱	۴۸/۹۰	۰/۱۲	۰/۸۲	۰/۰۲	۰/۰۰	۰/۹۹۸
-C2	۰/۰۲	۴۹/۴۰	۰/۰۱	۴۷/۶۱	۰/۸۰	۰/۸۲	۰/۰۳	۰/۰۲	۰/۹۸۳
-B2	۰/۰۱	۵۰/۱۸	۰/۰۲	۴۷/۳۲	۰/۳۷	۰/۸۶	۰/۰۲	۰/۰۰	۰/۹۹۲
-M2	۰/۰۱	۴۹/۵۳	۰/۰۲	۴۷/۸۹	۰/۴۳	۰/۸۷	۰/۰۲	۰/۰۰	۰/۹۹۱
-C3	۰/۰۰	۵۰/۸۶	۰/۰۰	۴۵/۵۰	۰/۸۴	۰/۹۷	۰/۰۲	۰/۰۰	۰/۹۸۲
-B3	۰/۰۲	۵۰/۴۷	۰/۰۲	۴۷/۴۸	۰/۶۹	۰/۷۶	۰/۰۱	۰/۰۲	۰/۹۸۶
Ilmenite	-M3	۰/۰۳	۵۰/۴۹	۰/۰۳	۴۶/۴۵	۰/۹۸	۰/۷۹	۰/۰۰	۰/۹۷۹
	-C4	۰/۰۱	۵۰/۷۶	۰/۰۲	۴۶/۵۹	۰/۹۸	۰/۷۹	۰/۰۱	۰/۹۷۹
	-B4	۰/۰۱	۵۰/۷۰	۰/۰۵	۴۷/۰۳	۰/۶۶	۰/۷۱	۰/۰۰	۰/۹۸۶
	-M4	۰/۰۲	۵۱/۰۵	۰/۰۳	۴۶/۳۴	۱/۰۲	۰/۷۷	۰/۰۲	۰/۹۷۸
	-C5	۰/۰۳	۵۰/۱۴	۰/۰۲	۴۶/۸۳	۱/۱۱	۰/۷۶	۰/۰۱	۰/۹۷۷
	-B5	۰/۰۳	۴۹/۴۸	۰/۰۲	۴۸/۰۸	۰/۷۳	۰/۸۰	۰/۰۰	۰/۹۸۵
	-C6	۰/۰۹	۵۱/۰۹	۰/۰۲	۴۵/۶۸	۱/۴۰	۰/۸۳	۰/۰۱	۰/۹۷
	-B6	۰/۰۴	۵۱/۰۶	۰/۰۳	۴۵/۷۹	۱/۳۰	۰/۸۶	۰/۰۱	۰/۹۷۲
	-M6	۰/۰۰	۵۰/۸۶	۰/۰۴	۴۵/۷۷	۱/۳۴	۰/۸۷	۰/۰۱	۰/۹۷۲
	-C1	۰/۰۶	۰/۸۰	۰/۷۲	۹۰/۳۵	۰/۱۱	۰/۰۶	۰/۰۱	۰/۹۹۹
	-C2	۰/۰۴	۰/۵۲	۰/۸۶	۹۰/۱۴	۰/۱۱	۰/۰۶	۰/۰۰	۰/۹۹۹
	-C3	۰/۰۴	۰/۵۲	۰/۸۶	۹۰/۱۴	۰/۱۱	۰/۰۶	۰/۰۰	۰/۹۹۹
	-C5	۰/۱۳	۰/۳۷	۰/۵۶	۸۹/۹۴	۰/۰۷	۰/۰۴	۰/۰۲	۰/۹۹۹
	-C6	۰/۰۷	۰/۰۹	۰/۴۷	۹۱/۵۳	۰/۰۴	۰/۰۳	۰/۰۰	۱

بزرگ و توزیع بی نظم تیغه‌های جدایشی، ترکیب اولیه پلاژیوکلازها با استفاده از روش تجزیه الکترون مایکروپروروب بسیار مشکل است. با این وجود در داده‌های به دست آمده از آنالیز بر روی کانی‌های پلاژیوکلاز مشخص شد که نمونه‌های نزدیک به محل تزریق توده‌های پلاژیوگرانیت (نمونه ۳) دارای TiO₂ و FeO بالاتری نسبت به نمونه‌های با فاصله بیشتر از محل تزریق (نمونه ۲) هستند (جدول ۳).

در کانی‌های کلینوپیروکسن نیز میزان FeO در کانی با نسبت FeO/(FeO+MgO) در سنگ متناسب است. پیروکسن‌های غنی از کلسیم به سمت سطوح چینه‌شناسی بالاتر از آهن غنی‌تر و از منیزیم فقیرتر می‌شوند. همچنین، با افزایش میزان FeO در کانی، میزان TiO₂ و Al₂O₃ نیز افزایش یافته که به خوبی نمایانگر تفریق عناصر آهن، تیتانیم و آلومینیم در تبلور پیشرونده مانگمات (جدول ۳). به دلیل اندازه بسیار

جدول ۳- نتایج داده‌های تجزیه کانی‌شناسی به روش الکترون مایکروپرورب از مرکز کانی‌های سیلیکاتی در سنگ‌های تشکیل‌دهنده مجموعه افیولیتی کهنه‌وج . فروگابرو (۱)، هورنبلندگابرو (۲)، لویکوگابرو فوچانی (۳)، گابرو معمولی فوچانی (۴)، لویکوگابرو زیرین (۵) و گابرو معمولی زیرین (۶). (با توجه به محدودیت صفحات مقاله، داده‌های مشابه حذف شده‌اند).

	Sample No.	SiO ₂	TiO ₂	Al ₂ O ₃	FeO	MgO	MnO	CaO	Na ₂ O	FeO/(FeO+MgO)
Clinopyroxene	۲	۵۰/۸۱	۰/۶۲	۲/۹۰	۹/۴۶	۱۴/۲۶	۰/۲۸	۲۰/۰۶	۰/۲۰	۰/۳۹۷
	۳	۵۱/۵۵	۰/۵۶	۱/۸۶	۹/۰۶	۱۳/۹۹	۰/۳۱	۲۱/۹۸	۰/۳۴	۰/۳۹۳
	۴	۵۰/۷۳	۰/۵۸	۲/۰۵	۹/۱۰	۱۴/۱۳	۰/۲۶	۲۱/۷۳	۰/۳۶	۰/۳۹۲
	۵	۵۱/۴۹	۰/۴۸	۲/۰۳	۸/۹۴	۱۴/۲۲	۰/۲۶	۲۱/۷۸	۰/۴۴	۰/۳۸۶
	۶	۴۹/۱۴	۰/۳۱	۱/۴۹	۸/۶۰	۱۴/۲۱	۰/۳۱	۲۲/۰۷	۰/۴۱	۰/۳۷۷
Plagioclase	۱	۵۶/۷۹	۰/۰۱	۲۵/۳۱	۰/۱۱	۰/۰۰	۰/۰۱	۷/۹۸	۷/۰۷	۱
	۲	۵۴/۹۷	۰/۰۶	۲۷/۰۶	۰/۱۴	۰/۰۱	۰/۰۱	۹/۷۷	۷/۵۷	۰/۹۳۳
	۳	۵۴/۹۷	۰/۱۱	۲۷/۱۲	۰/۱۲	۰/۰۱	۰/۰۱	۹/۹۰	۶/۰۸	۰/۹۲۳
	۵	۵۴/۹۷	۰/۰۹	۲۷/۴۶	۰/۱۰	۰/۰۱	۰/۰۰	۱۰/۲۹	۵/۸۹	۰/۹۰۹
	۶	۵۵/۳۷	۰/۱۳	۲۷/۱	۰/۱۱	۰/۰۲	۰/۰۱	۹/۵۴	۶/۲۲	۰/۸۴۶
Amphibole	۱	۴۲/۸۷	۲/۱۸	۷/۶۵	۱۸/۳۷	۱۰/۵۶	۰/۳۰	۱۱/۱۹	۱/۷۹	۰/۶۳۵
	۲	۴۱/۴۴	۲۱/۲	۱۰/۸	۱۴/۷۶	۱۱/۹۲	۰/۱۸	۱۱/۱۸	۲/۵۹	۰/۵۵۳
	۳	۴۴/۳۱	۲/۱۰	۹/۱۳	۱۴/۹۹	۱۲/۵۹	۰/۲۲	۱۱/۲۳	۲/۱۴	۰/۵۴۴
	۴	۴۴/۶۵	۱/۳۴	۱۰/۴۱	۱۰/۶۴	۱۵/۹۴	۰/۲۱	۱۰/۷۱	۲/۰۲	۰/۴
	۵	۴۶/۴۰	۲/۵۸	۹/۵۳	۱۲/۹۲	۱۲/۹۶	۰/۲۱	۱۱/۳۹	۲/۲۹	۰/۵۱۸
Chlorite	۱	۲۶/۹۰	۱/۶۰	۱۳/۸۰	۳۰/۱۷	۸/۳۸	۰/۰۹	۰/۴۸	۰/۰۹	۰/۷۸۳
	۲	۲۸/۶۵	۰/۸۷	۱۵/۱۹	۲۲/۷۳	۱۴/۰۰	۰/۰۹	۰/۳۷	۰/۱۸	۰/۶۱۹
	۴	۲۷/۰۶	۰/۱۱	۱۷/۶	۲۳/۷۳	۱۵/۸۷	۰/۰۸	۰/۲۱	۰/۰۹	۰/۵۹۹

که بر اثر دگرسانی پیروکسن و آمفیبول غنی از تیتانیم، این عنصر در ترکیب کانی ثانویه باقی مانده و به دلیل کم تحرکی از سنگ خارج نمی‌شود، بنابراین، میزان کلی تیتانیم سنگ، در اثر دگرسانی تغییر نمی‌کند (جدول ۳).

ژئوشیمی

نتایج داده‌های تجزیه شیمیایی عناصر اصلی و فرعی بر روی سنگ‌های تشکیل‌دهنده مجموعه افیولیتی کهنه‌وج به روش دستگاهی XRF در جدول ۴ آورده شده‌اند. در مطالعات تفریق ماقمایی در مجموعه‌های آذرین می‌توان از نسبت $\text{FeO}/(\text{FeO}+\text{MgO})$ استفاده کرد (Anant *et al.*, 2001; Dipankar *et al.*, 2005).

تجزیه آمفیبول‌ها نشان می‌دهد که نمونه‌های دگرسان شده (نمونه ۳) نسبت به نمونه‌هایی که کمتر دگرسان شده‌اند (نمونه‌های ۱ و ۲) دارای تیتانیم مشابهی هستند که می‌تواند شاهدی بر کم تحرکی تیتانیم در ضمن متاسوماتیسم باشد (جدول ۳). ترکیب شیمیایی برخی از آمفیبول‌های بین بلورین در کهنه‌وج با منشأ آذرین آنها تطبیق دارد، با این حال ترکیب شیمیایی بسیاری از آنها نیز منعکس کننده تعادل مجدد از طریق انتشار بین بلورین آمفیبول‌های نهشته شده با کانی‌های دیگر در سنگ گابرویی است. در چنین حالی تغییرات شیمیایی تحت تأثیر ترکیب شیمیایی کانی‌های کومولوس است (Tribuzio *et al.*, 2000). بالا بودن میزان تیتانیم کانی‌های کلریت نیز نشان می‌دهد

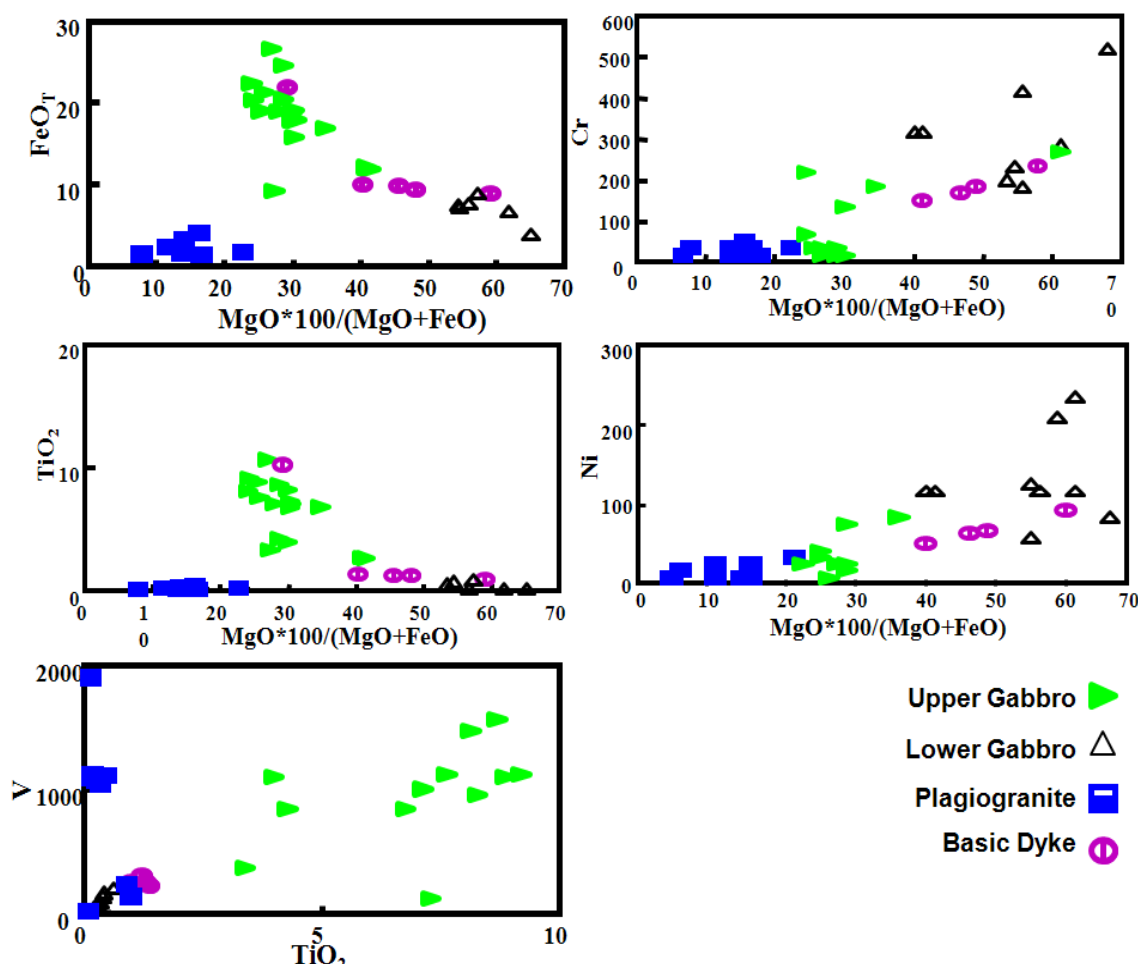
افزایش میزان این نسبت در صعود به سطوح فوقانی ستون افیولیتی با تفرق ماقماً متناسب است. با این‌که داده‌های Hassanipak و همکاران (۱۹۹۶) از عناصر نادر خاکی در گابروها نشان‌دهنده وجود دو ماقمای بازالتی با ماهیت LREEs (با عناصر نادر خاکی سبک LREEs) غنی از عناصر نادر خاکی درون قاره‌ای) و فقیر از (با عناصر معمولی MORB) هستند.

این نسبت در الیوین گابرو بخش گابروی زیرین (نمونه ۱۴) بسیار پایین (۰/۴۳) است در حالی که میزان آن در نمونه‌های فروگابرو بخش گابروی فوقانی در محدوده معینی بین ۰/۷۴ تا ۰/۷۵ (نمونه‌های ۴-۳) و در پلاژیوگرانیت (نمونه‌های ۲۰-۱۹) بین ۰/۸۷ تا ۰/۹۶ قرار می‌گیرد. این نسبت در پلاژیوگرانیت نمونه ۱۸ فقط ۰/۰۶ است که نشان‌دهنده تفاوت در منشأ پلاژیوگرانیتها در منطقه مورد مطالعه است.

جدول ۴- نتایج داده‌های تجزیه شیمیایی سنگ‌های تشکیل‌دهنده مجموعه افیولیتی کهنجو به روش تجزیه دستگاهی XRF. فروگابروی دگرسان شده (۱-۲)، فروگابروی سالم (۳-۴)، هورنبلند گابرو (۵-۶) و گابرو روشن بخش زیرین (۹)، گابرو معمولی بخش فوقانی (۱۰-۱۱) و گابرو معمولی بخش زیرین (۱۴)، الیوین گابرو (۱۲-۱۳)، تروکتولیت (۱۵)، دایک دیابازی (۱۶-۱۷)، پلاژیوگرانیت (۱۸-۲۰). در این جدول نسبت $\text{Fe}^{\#} = \text{FeO}/(\text{FeO}+\text{MgO})$ است.

Sample No.	۱	۲	۳	۴	۵	۶	۷	۸	۹	۱۰	۱۱	۱۲	۱۳	۱۴	۱۵	۱۶	۱۷	۱۸	۱۹	۲۰
(wt%)																				
SiO_2	۳۸/۸۰	۳۸/۲۰	۳۶/۵۰	۳۷/۴۰	۴۳/۳۰	۴۰/۰۰	۴۴/۵۰	۴۰/۸۰	۳۸/۸۰	۵۱/۷۰	۴۹/۲۰	۵۰/۷۰	۴۷/۲۰	۴۸/۴۰	۴۳/۱۰	۴۱/۰۰	۸۶/۶۰	۵۴/۸۰	۵۷/۷۰	
TiO_2	۹/۲۰	۸/۱۳	۸/۶۸	۱۰/۲۴	۳/۹۸	۸/۲۸	۵/۸۰	۷/۱۳	۷/۶۴	۸/۸۶	۳/۲۹	۱/۳۷	۱/۴۸	۰/۱۹	۱/۲۹	۶/۷۶	۴/۷۲	۰/۰۷	۰/۹۸	۰/۰۸۸
Al_2O_3	۱۱/۷۰	۱۱/۱۰	۷/۴۰	۸/۴۰	۱۲/۳۰	۱۱/۲۰	۱۱/۸۰	۱۱/۴۰	۱۱/۲۰	۱۲/۲۰	۱۷/۷۰	۱۷/۲۰	۲۲/۸۰	۲۰/۸۰	۱۶/۱۰	۱۳/۰۰	۱۰/۹۰	۵/۰۰	۱۹/۹۰	۲۰/۰۰
FeO	۲۰/۶۸	۲۲/۶۹	۲۵/۰۴	۲۲/۲۴	۱۸/۲۸	۱۹/۱۹	۱۷/۵۹	۱۹/۲۹	۲۱/۶۶	۱۹/۴۷	۹/۴۳	۱۰/۱۲	۶/۰۹	۷/۵۱	۱۰/۰۳	۱۶/۰۱	۲۰/۷۴	۰/۰۷	۵/۹۱	۵/۹۹
MnO	۰/۲۵	۰/۲۳	۰/۲۸	۰/۳۰	۰/۲۱	۰/۲۵	۰/۲۴	۰/۲۳	۰/۲۷	۰/۲۵	۰/۱۳	۰/۱۷	۰/۰۸	۰/۱۱	۰/۱۷	۰/۰۸	۰/۰۷	۰/۲۱	۰/۰۲	۰/۰۵
MgO	۵/۶۴	۶/۱۳	۸/۵۵	۷/۷۸	۶/۶۵	۶/۹۸	۵/۹۳	۶/۳۴	۶/۴۱	۵/۶۳	۳/۰۲	۵/۸۲	۱/۷۵	۱/۰۰	۷/۱۴	۵/۸۹	۷/۱۱	۰/۰۴	۳/۰۰	۰/۰۸۸
CaO	۹/۷۴	۱۰/۳۶	۱۱/۲۱	۱۰/۳۱	۱۰/۹۱	۱۰/۱۰	۹/۳۵	۱۰/۱۲	۱۰/۴۰	۹/۶۹	۷/۲۴	۱۰/۰۶	۹/۷۶	۱۱/۳۱	۱۱/۷۵	۱۱/۲۰	۱۱/۸۶	۵/۶۴	۸/۴۸	۴/۹۶
Na_2O	۲/۵۰	۲/۲۹	۱/۵۱	۱/۸۷	۲/۶۶	۲/۳۷	۳/۵۶	۲/۵۶	۲/۳۰	۲/۶۵	۵/۶۳	۳/۹۲	۴/۷۶	۲/۵۵	۳/۴۶	۲/۸۱	۰/۰۲	۰/۰۰	۵/۲۹	۷/۴۶
K_2O	۰/۱۸	۰/۱۱	۰/۰۵	۰/۲۱	۰/۲۵	۰/۲۳	۰/۲۳	۰/۱۳	۰/۲۳	۰/۱۷	۰/۴۱	۰/۳۹	۰/۶۷	۰/۰۸	۰/۲۹	۰/۰۲	۰/۱۱	۰/۰۱	۰/۷۳	۰/۹۰
P_2O_5	۰/۰۴	۰/۰۴	۰/۰۳	۰/۰۲	۰/۰۳	۰/۰۴	۰/۰۷	۰/۰۴	۰/۰۲	۰/۰۴	۰/۰۹	۰/۱۵	۰/۰۸	۰/۰۲	۰/۱۸	۰/۰۴	۰/۰۳	۰/۰۱	۰/۱۹	۰/۰۸
$\text{Fe}^{\#}$ (ppm)	۰/۷۹	۰/۷۹	۰/۷۵	۰/۷۴	۰/۷۳	۰/۷۳	۰/۷۵	۰/۷۵	۰/۷۷	۰/۷۶	۰/۶۳	۰/۷۸	۰/۴۳	۰/۵۸	۰/۷۳	۰/۷۴	۰/۹۵	۰/۶۶	۰/۸۷	
Sc	۵۰	۵۳	۶۶	۷۰	۵۲	۴۷	۵۰	۵۲	۶۰	۵۱	۲۵	۳۰	۱۷	۱۴	۴۱	۶۲	۷۰	۵	۲۶	۷
Co	۶۴	۶۸	۸۵	۷۳	۷۱	۶۳	۶۶	۵۹	۵۹	۷۳	۷۱	۵۹	۳۷	۱۰۱	۴۹	۵۶	۷۷	۳۳۷	۶۰	۴۱
Ba	۳	۴	۴	۴	۲۳	۲	۴۱	۴	۲	۴	۹۲	۴۵	۴۲	۱۴	۸۱	۴	۱۱	۸	۱۰۳	۱۶۳
Rb	۲	۴	۱	۲	۷	۳	۲	۱	۳	۱	۲	۲	۷	۱	۴	۷	۴	۱	۱۰	۷
Sr	۱۷۱	۱۶۴	۹۸	۱۰۸	۱۶۶	۱۶۰	۱۴۲	۱۷۰	۱۵۳	۲۶۶	۲۳۱	۲۲۵	۵۰۸	۲۵۷	۳۸۳	۱۹۲	۱۵۸	۴۵	۳۲۲	۲۵۳
Y	۲۰	۱۹	۲۶	۲۶	۲۱	۲۱	۷۸	۲۳	۲۷	۲۱	۹۸	۴۷	۱۳	۶	۲۸	۲۲	۲۳	۵	۲۵	۶۴
Zr	۸۶	۷۶	۷۳	۸۲	۷۳	۶۹	۱۶۴	۶۹	۸۳	۹۳	۱۳۴	۱۸۳	۴۵	۱۹	۶۸	۶۷	۴۸	۲۳	۲۹۵	۲۰۸۵
Nb	۶	۶	۵	۶	۵	۶	۱۲	۷	۶	۵	۱۹	۶	۰	۳	۶	۸	۲	۴	۷	۱۷
Pb	۲	۳	۱	۴	۱	۲	۱	۳	۱	۱	۴	۲	۱	۳۷	۱	۴	۱	۲	۲	۱
Ga	۱۹	۲۱	۱۶	۱۵	۲۰	۱۵	۱۸	۱۷	۱۹	۱۸	۲۵	۱۸	۲۴	۱۶	۱۷	۱۹	۱۸	۱۶	۲۱	۲۷
Zn	۱۰۴	۱۰۸	۱۱۹	۱۰۵	۱۰۱	۹۷	۱۰۱	۹۴	۱۰۱	۹۹	۳۷	۶۷	۳۱	۱۵	۶۴	۶۸	۱۰۸	۳	۲۳	۶
Cu	۵۲	۵۵	۵۴	۵۲	۵۶	۴۶	۴۷	۴۳	۵۳	۵۹	۲۲	۳۵	۹	۵۸	۵۳	۴۱	۱۹۴	۱	۲۲	۱۵
Ni	۲۶	۲۴	۲۹	۱۸	۳۰	۱۱	۳۱	۱۴	۱۲	۳۷	۱۱	۵۸	۹	۲۴۱	۷۰	۱۴	۷۱	۴	۲۴	۶
V	۱۱۲۴	۱۴۷۵	۱۵۶۸	۱۲۶۱	۱۱۰۴	۹۴۶	۹۴۶	۱۰۰۲	۱۱۲۸	۱۱۰۷	۲۶۷	۲۲۴	۲۷۱	۴۳	۲۵۴	۸۴۸	۱۲۳۴	۱۹	۱۳۷	۲۳۶
Cr	۲	۴۱	۶	۲	۲۹	۳	۱۸	۳	۴	۱۵	۲	۱۳۵	۱۰	۲۷۵	۱۷۲	۲	۸۴	۶	۱۰۷	۷

قرار می‌گیرد که تقریباً با نقطه شروع سری تفریقی منطقه مورد مطالعه تطبیق دارد (Wilson, 1989; White, 1995). میزان TiO_2 نیز از ۰/۱۹ درصد در الیوین گابرو تا ۱۰/۲۴ درصد در فروگابرو افزایش می‌یابد که نشان‌دهنده تفرق شدید تیتانیم در مراحل نهایی تبلور مagma و تشکیل کانی‌های ایلمنیت و تیتانومگنتیت در فروگابرو است. در تفرق بلورین مشاهده شده، میزان عناصر Na_2O و K_2O و میزان SiO_2 در مقابل نسبت $\text{Mg}/(\text{Mg}+\text{Fe})$ به سمت سطوح فوقانی ستون افیولیتی به طور پیوسته افزایش می‌یابند (شکل ۴).



شکل ۴- داده‌های شیمیایی حاصل از تجزیه شیمیایی به روش شیمیایی تر و XRF نمونه‌های سنگی مجموعه افیولیتی کهنه‌ج. میزان اکسیدها به صورت درصد و عناصر به صورت ppm هستند.

نتایج این پژوهش نشان‌دهنده افزایشی پیوسته از عناصر آهن، تیتانیم و وانادیم و کاهشی پیوسته در میزان کروم و نیکل از گابروهای زیرین به سمت گابروهای فوقانی افیولیت همراه با جدایش کانی‌های الیوین و پیروکسن غنی از منیزیم در تفرق تدریجی مagmaست. به عبارت دیگر همه گابروها محصول تفرق بلورین از یک مذاب واحد بدون هرگونه تغییر ناگهانی در ترکیب شیمیایی و کانی‌شناسی هستند. میزان $\text{Mg}/(\text{Mg}+\text{Fe})$ در مagmaهای بازالتی با منشأ MORB که در تعادل با الیوین جبهاتی هستند در محدوده ۰/۷۰ تا ۰/۷۲ می‌باشد.

بحث

سنگ‌شناختی به صورت تغییر تدریجی در نسبت کانی‌های اصلی تشکیل‌دهنده گابروها مشاهده می‌شود. مرز بین گابروهای زیرین و فوقانی تدریجی بوده، هیچ گونه تغییر ناگهانی در مرز این دو بخش مجموعه افیولیتی دیده نمی‌شود.

حضور کانسارهای با ارزش تیتانیم این فرضیه را به وجود می‌آورد که ماغمای مادر افیولیتی مجموعه کهنه‌وج از عنصر تیتانیم غنی بوده است. افیولیت‌های غنی از Ti از نظر ژئوشیمیایی و سنگ‌شناختی شباهت زیادی به حوضه‌های اصلی اقیانوسی و یا حوضه‌های پشت قوسی داشته که در مراحل میانی تا پایانی بازشدگی حوضه‌های پشت قوسی ایجاد می‌شوند در حالی که انواع فقیر از آن از تبلور ماغماهایی که نشان‌دهنده مراحل آغازین بازشدگی هستند به وجود می‌آیند (Serri, 1981; Anant *et al.*, 2001; Hawkins, 1980; Rajish *et al.*, 2004). در سنگ‌های مافیک مجموعه افیولیتی کهنه‌وج، ترکیب اولیه سیلیکات‌های مافیک و اکسیدهای آهن-تیتانیم نشان‌دهنده غنی‌شدگی پیوسته از آهن، تیتانیم، وانادیم و روی و کاهش میزان کروم و نیکل از بخش‌های زیرین به سمت بخش‌های فوقانی ستون افیولیتی است. تفریق پیشرونده سیال باقی‌مانده از ماغما (به‌ویژه با تبلور پلازیوکلازها) موجب غنی‌شدگی آن از Ti و Fe و در نتیجه تمکز کانی‌های غنی از Ti و Fe در سنگ‌های کم‌تر منیزیمی در بالاترین سطح مجموعه افیولیتی (فروگابرو) می‌شود. میزان TiO_2 در سنگ‌های انباسته‌ای با Ti بالا بعد از این که اکسیدهای Fe-Ti به حالت اشباع برسند به‌شدت کاهش می‌یابد این حالت وقتی اتفاق می‌افتد که اندیس تیرگی رنگ سنگ بین ۱۶ تا ۷ درصد باشد (حالی که در افیولیت کهنه‌وج دیده می‌شود). درجه تفریق ماغمایی

درباره ماهیت افیولیتی مجموعه کهنه‌وج اتفاق نظر وجود دارد. گابروهای لایه‌ای، گابروهای ایزوتروپ، دایک‌های ورقه‌ای، پلازیوگرانیت‌ها و گدازه‌های بالشی همراه با رادیولاریت‌ها و سنگ‌های آهکی پلازیک وجود دارند، حضور قطعات پریدوتیتی سرپانتینتی شده در امتداد زون گسلی جیرفت وجود واحد هارزبورگیتی زیرین در مجموعه افیولیتی رمشک در جنوب شرق مجموعه کهنه‌وج و در موقعیت ژئوتکتونیک مشابه MORB)، همراه با ماهیت شبیه به (McCall, 1997) واحدهای بازیک افیولیت کهنه‌وج (Ghazi *et al.*, 2004) نشان‌دهنده فرارانش تکتونیکی ناقص پوسته اقیانوسی در این منطقه است.

تنوع کم در ساخت و بافت سنگ‌های گابرویی به‌دلیل تبلور آهسته ماغمای بازالتی با گرانروی کم در محیط‌های پلوتونیک است. علی‌رغم تغییرات پس از تبلور سنگ، بافت اولیه آذرین در بسیاری از سنگ‌های مجموعه افیولیتی کاملاً حفظ شده و امکان تشخیص فازهای انباسته‌ای و پسا انباسته‌ای و در نتیجه تعیین توالی تبلور وجود دارد. این بافت‌ها نشان می‌دهند که الیوین و پلازیوکلاز اولین فازهایی هستند که متبلور می‌شوند، سپس پیروکسن و در پایان آمفیبول و اکسیدهای آهن-تیتانیم تشکیل می‌شوند. شواهد این نتیجه گیری حضور بلورهای بزرگ پلازیوکلاز خودشکل تا نیمه‌خودشکل، پیروکسن‌های متوسط نیمه خود شکل و سپس حضور کانی‌های آمفیبول و اکسیدی در فضاهای بین‌بلوری است. بافت، ساخت و لایه‌بندی ماغمایی همراه با تغییرات شیمیایی، نشان‌دهنده آن است که گابروهای لایه‌ای از طریق تجمع بلورین در کف یک آشیانه ماغمایی تشکیل شده‌اند به‌طوری که تغییرات

رفتار موازی وانادیم با تیتانیم در فرآیند تبلور نیز نشانه خوبی بر توزیع Ti در ایلمنیت یا تیتانومگنتیت بدون تأثیر پذیری از دگرسانی‌های ثانویه است (Kerrich and Wyman, 1997).

پس از تبلور توده‌های گابرویی، این سنگ‌ها تحت تأثیر نفوذ دایک‌های دیابازی و سپس پلاژیوگرانیتی قرار می‌گیرد. به نظر می‌رسد نفوذ دایک‌های دیابازی تاثیر عمده‌ای بر روی ترکیب شیمیایی سنگ‌های گابرویی میزبان نداشته‌اند و فقط به طور محلی موجب تغییرات بافتی در اثر واکنش‌های حرارت بالا شده‌اند. دایک‌های دیابازی تفاوت عمده‌ای از نظر ترکیب شیمیایی عناصر اصلی و کانی شناختی با گابروها ندارند و نشان‌دهنده تبلور از یک مagma میکسان هستند. در مرحله بعد نفوذ پلاژیوگرانیت موجب تبادل متاسوماتیکی محدود بین دو واحد گابرویی و پلاژیوگرانیتی در مرز بین این دو سنگ شده است. در عین حال مشاهدات صحرایی و داده‌های شیمیایی این مطالعه در کنار داده‌های عناصر نادر خاکی به دست آمده توسط Ghazi و همکاران (۲۰۰۴) نشان‌دهنده وجود دو سنگ پلاژیوگرانیت با منشأ متفاوت هستند.

نتیجه‌گیری

مجموعه افیولیتی کهنه‌وج احتمالاً بخشی از اقیانوس نئوتیس بوده که قبل از کرتاسه طی فرآیند تشکیل پوسته اقیانوسی در حاشیه فعال ایران مرکزی تشکیل شده است. بازالت تولیتی غنی از تیتانیم و آهن در زمان صعود و پس از استقرار متحمل تبلور تفریقی شده است. هنگامی که تفریق مagma می‌باشد به نقطه یوتکتیک سه‌تایی می‌رسد (تبلور هم‌زمان الیوین، پلاژیوکلاز و کلینوپیروکسن)، در شرایط فوگاسیته بالای

وقتی به حداکثر خود می‌رسد که در نقطه یوتکتیک سه‌تایی قرار داشته باشد، یعنی زمانی که در سنگ‌های گابرویی سه کانی کومولوس (کانی‌های الیوین، پلاژیوکلاز و کلینوپیروکسن) متبloor می‌شوند. در این حالت دو مسیر کلی بخصوص از نظر میزان TiO_2 می‌تواند طی شود. در حالتی که میزان مایع بین کومولوس کمتر از ۵ درصد باشد (بافت ادکومولا) میزان TiO_2 به حداکثر خود می‌رسد (حالتی که در مجموعه کهنه‌وج دیده می‌شود). در این حالت سنگ‌های فروگابرویی که میزان TiO_2 آنها بسیار بالاست در افیولیت به طور گسترده‌ای شکل می‌گیرند. اصولاً در مجموعه گابرویی افیولیت کهنه‌وج با TiO_2 بالا سنگ‌های دونیتی، تروکتولیتی، گابروهای الیوین‌دار و سنگ‌های گابرویی فروگابرو، سنگ‌های انباسته‌ای اصلی هستند. در افیولیت‌های با TiO_2 پایین، نظام تبلور به ترتیب الیوین-ارتوبیروکسن-کلینوپیروکسن-پلاژیوکلاز است (چنین حالتی در مجموعه افیولیتی کهنه‌وج دیده نشده است). این نوع تبلور موجب تشکیل سنگ‌های اولترامافیک حجمی غنی از پیروکسن و انواع گابرونوریت می‌شود (Serri, 1981). تغییرات نسبت $FeO/(FeO+MgO)$ در کانی‌های ایلمنیت با تحول این نسبت در سنگ‌های مورد مطالعه مناسب است که نشان‌دهنده تفریق کانی ایلمنیت همگام با کانی‌های دیگر در طی تحول تفریقی مagmaست و همچنین، نشان‌دهنده این مطلب است که فازهای حامل فلز تیتانیم دارای منشأ اولیه هستند و عامل اصلی کانه‌زایی، تفریق magma می‌باشد. رفتار مشابه تیتانیم و آهن در فرآیند تفریق magma و مقایسه آنها با میزان کلسیم در گابروهای تحتانی و فوقانی نشان می‌دهد که بیشترین مقدار تیتانیم سنگ همراه با آهن در ایلمنیت تمکر پیدا کرده و مقدار بسیار کمی از آن در فاز سیلیکاتی تجمع یافته است.

ایجاد تبادل متوافقانه عناصر بین دو واحد گابرویی و پلاژیوگرانیتی، میزان تیتانیم سنگ را تغییر نداده‌اند.

سپاسگزاری

نویسنده‌گان این مقاله از همکاری ارزشمند پروفسور K. Hartmann و پروفسور B. Wemmer در بخش زمین‌شناسی و ژئوشیمی دانشگاه گوتینگن آلمان در تجزیه شیمیایی و کانی‌شناسی نمونه‌ها تشکر و سپاسگزاری می‌کنند.

اکسیژن مذاب غنی از آهن و تیتانیم فضای باقی مانده بین بلورهای پلاژیوکلاز را به صورت بافت بین انباشتی (بین کومولای) پر کرده و در این مرحله سنگ‌های فروگابرویی که میزان TiO_2 آنها بسیار بالاست ایجاد می‌شود. اگرچه در مرحله بعد توده گابرویی تحت تأثیر نفوذ دایک‌های دیبازی باقی مانده از تبلور توده‌های گابرویی قرار گرفته است اما نفوذ این دایک‌ها تأثیر عمده‌ای بر روی ترکیب شیمیایی سنگ‌های گابرویی میزبان نداشته‌اند. نفوذی‌های پلاژیوگرانیت نیز علی‌رغم

منابع

- سبزه‌یی، م. (۱۳۷۰) گزارش زمین‌شناسی و بررسی منابع معدنی کانه‌های تیتانیم مجموعه افیولیتی کوهستان بند زیارت کهنه‌ج، استان کرمان. گزارش داخلی شرکت تیتانیم.
- کعنیانیان، ع. (۱۳۸۰) پتروژن و ژئوشیمی مجموعه افیولیتی کهنه‌ج. پایان‌نامه دکتری، دانشگاه تربیت مدرس، تهران، ایران.
- مهندسين مشاور کاوشنگان (۱۳۶۹) گزارش مطالعات سنگ شناختی گابروهای ایلمنیت‌دار در ناحیه سنگ مادر کانسار دره گز. گزارش تفصیلی معاونت فلزات غیرآهنی وزارت معدن و فلزات.
- Anant, S., Rajish, K. S., Chandra, R. and George, A. J. (2001) Fe-Ti-enriched mafic rocks from south Andaman ophiolite suite: Implication of late stage liquid immiscibility. Current Science 80: 453-454.
- Boulin, J. (1991) Structures in south east Asia and evolution of the eastern Tethys. Tectonophysics 196: 211-268.
- Dipankar, M., Naresh, C. G. and Nilanajan, C. H. (2005) Crystallization history of massif anorthosites in the eastern India shield margin based on borehole lithology. Journal of Asian Earth Sciences 25: 77-94.
- Ghazi, A. M., Hassanipak, A. A., Mahonery, J. J. and Duncan, R. A. (2004) Geochemical characteristic, $^{40}Ar/^{39}Ar$ age and original tectonic setting of Band-e Ziarat-Dar Anar ophiolite, Makran accretionary prism, S. E. Iran. Tectonophysics 393: 175-196.
- Hassanipak, A. A., Ghazi, A. M. and Wampler, J. M. (1996). Rare earth element characteristics and K-Ar ages of the Band Ziarat ophiolite complex, southeastern Iran. Canadian Journal of Earth Sciences 33: 1534-1542.
- Hawkins, J. W. (1980) Petrology of back arc basins and island arc: their role in the origin of ophiolite. In: Proceedings of the International Ophiolite Symposium, Geological Survey Department, Cyprus.
- Kananian, A., Juteau, T., Bellon, H., Darvishzadeh, A., Sabzehi, M., Whitechurch, H. and Ricou, L. (2001) The ophiolite massif of Kahnuj western Makran (Southern Iran): New geological and geochronological data. Earth and Planetary Science Letters 332: 543-552.
- Kerrick, R. and Wyman, D. A. (1997) Review of developments in trace- element fingerprinting of geodynamic settings and their implications for mineral exploration. Australian Journal of Earth Sciences 44: 465-487.

- Knipper, A., Ricou, L. E. and Dercourt, J. (1986) Ophiolites as indicators of the geodynamic evolution of the Tethyan Ocean. *Tectonophysics* 123: 213-240.
- McCall, G. J. H. (1985) Explanatory text of the Minab quadrangle map 1:250000. Geological Survey of Iran, Report No. J13.
- McCall, G. J. H. (1997) The geotectonic history of the Makran and adjacent areas of the southern Iran. *Journal of Asian Earth Sciences* 15: 517-531.
- Nicolas, A. (1989) Structures of ophiolites and dynamics of oceanic lithosphere. Kluwer Academic Publishers, London.
- Pouchou, J. L. and Pichoir, F. (1984) Un nouveau modèle de calcul pour la microanalyse quantitative par spectrométrie de rayons X. Partie I: application à l'analyse des échantillons homogènes. *La Recherche Aérospatiale* 3: 167-192.
- Pouchou, J. L. and Pichoir, F. (1991) Quantitative analysis of homogeneous or stratified microvolumes applying the model "PAP". In: Heinrich, K. F. J. and D. E. Newbury (Eds.): *Electron Probe Quantitation*. Plenum Press, New York, 31-75.
- Rajish, K., Srivastava Chandra, R. and Shastry, A. (2004) High-Ti type N-MORB parentage of basalts from the south Andaman ophiolite, India. *Earth and Planetary Science Letters* 113: 605-618.
- Robinson, P., Panish, P. T. and McEnroe, S. A. (2001) Minor element chemistry of hemo-ilmenite and magnetite in cumulate rocks from the Sokndal region, south Rogaland, Norway. *American Mineralogist* 86: 1469-1476.
- Serri, G. (1981) The petrochemistry of ophiolite gabbroic complexes: A key for the classification of ophiolites into low-Ti and high-Ti types. *Earth and Planetary Science Letters* 52: 203-212.
- Tribuzio, R., Tiepolo, M. and Thirlwall, M. F. (2000) Origin of titanium pargasite in gabbroic rocks from the Northern Apennine ophiolites (Italy): insights into the late-magmatic evolution of a MORB-type intrusive sequence. *Earth and Planetary Science Letters* 175: 281-293.
- White, W. M. (1995) Geochemical tracers of mantle processes. *Reviews of Geophysics* 33(S1): 19-24.
- Wilson, M. (1989) Igneous Petrogenesis: A Global Tectonic Approach. Unwin Hyman, London.

Mineralization study of titanium in Kahnouj ophiolitic complex based on petrological, mineralogical and geochemical data, south of Kerman province

Mohammad Ali Rajabzadeh ^{1*}, Mansour Ghorbani ² and Monir Saadati ¹

¹ Department of Earth Sciences, Faculty of Sciences, University of Shiraz, Shiraz, Iran

² Department of Earth Sciences, Faculty of Sciences, University of Hormozgan, Bandar Abbas, Iran

Abstract

The Kahnouj ophiolitic complex, in south of Kerman Province emplaced as a horst structure between two major north-south trending fault zones of Jiroft and Sabzevaran. The ophiolite is incomplete and is composed mainly of layered gabbros, isotropic gabbros, sheeted dykes, plagiogranites as well as pillow lavas associated with radiolarites and pelagic limestones. Ilmenite is the predominant Ti-bearing mineral often occurred as interstitial with amphibole following plagioclase, olivine and clinopyroxene crystallization. The formation of considerable gabbro masses accompanied by crystallization of large amounts of plagioclase and clinopyroxene leads to the differentiation of Ti-Fe-rich melts at ferrogabbro formation as major ilmenite host rock. Decrease in compatible elements such as Mg and Cr and continuous increase in incompatible elements (e. g. Mn, Na and Ti) from the lower towards the upper parts of the ophiolitic complex indicate that the ophiolitic rocks crystallized from Ti-rich tholeiitic magma during fractional crystallization.

Key words: Mineralization, Titanium, Ophiolite, Kahnouj, Geochemistry

* rajabzad@geology.susc.ac.ir